

Industrielle Forschung mit Neutronen

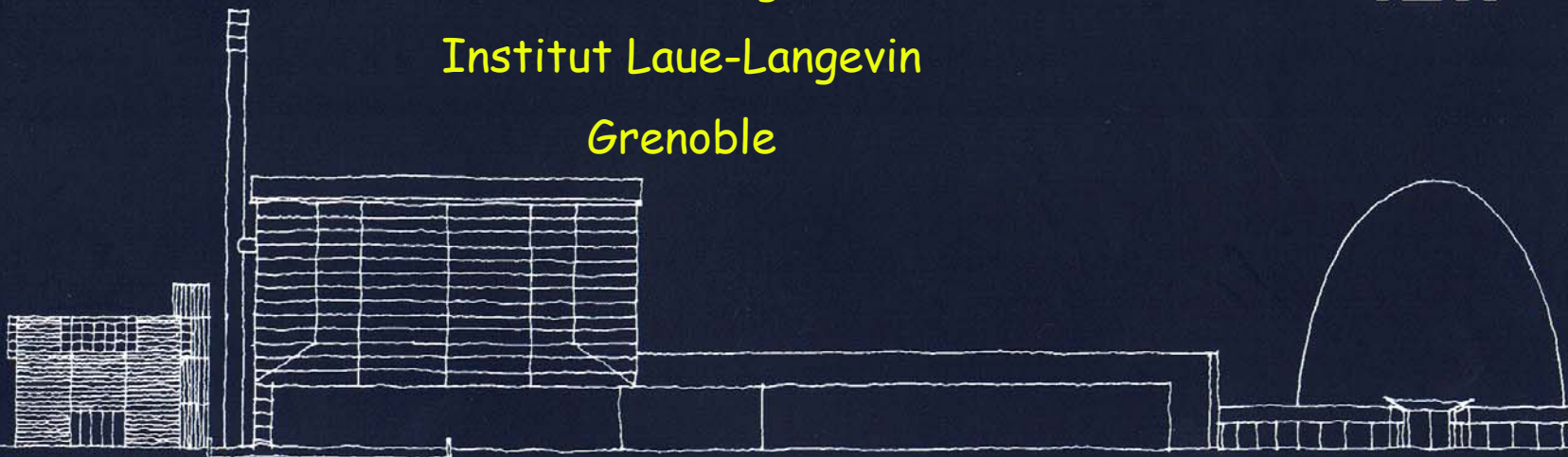


Richard Wagner

Institut Laue-Langevin

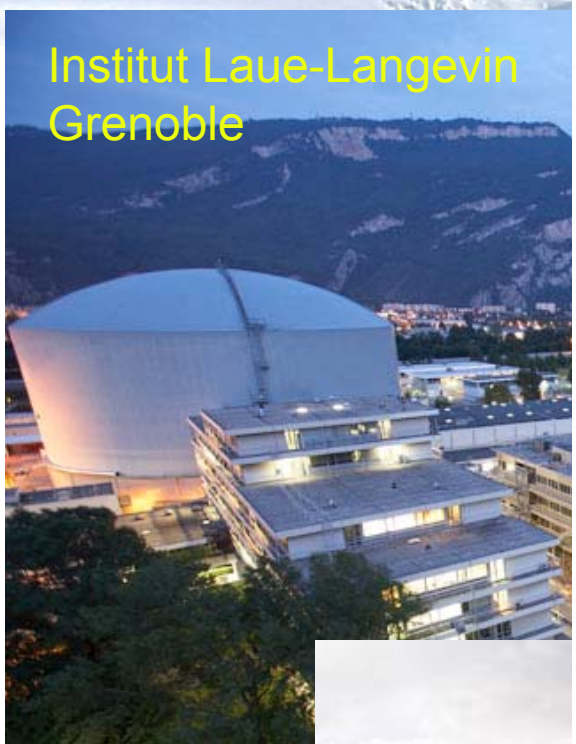


Grenoble



50 Jahre Neutronenforschung in Garching – und deren Zukunft

FRM und ILL: Wissenschaftliche Partner seit 40 Jahren



Institut Laue-Langevin
Grenoble



Forschung mit Neutronen ?

...Grundlagen- oder anwendungsnahe
Forschung...?

Dem Anwenden muss das Erkennen vorausgehen!

Max Planck

Dem Anwenden muss das Erkennen vorausgehen!

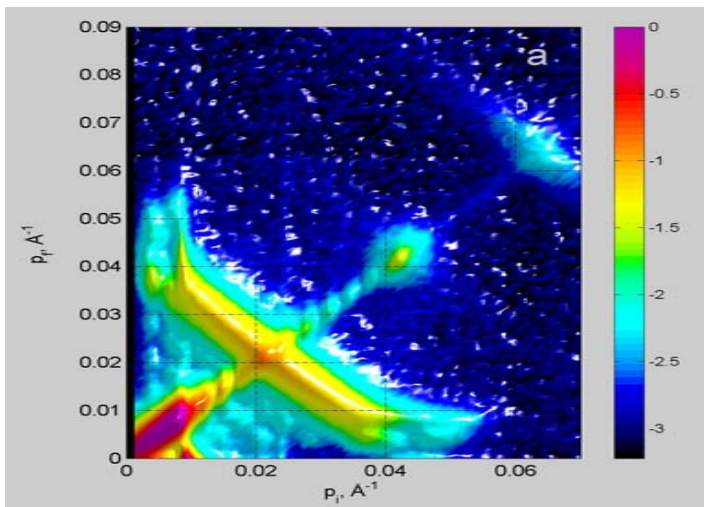
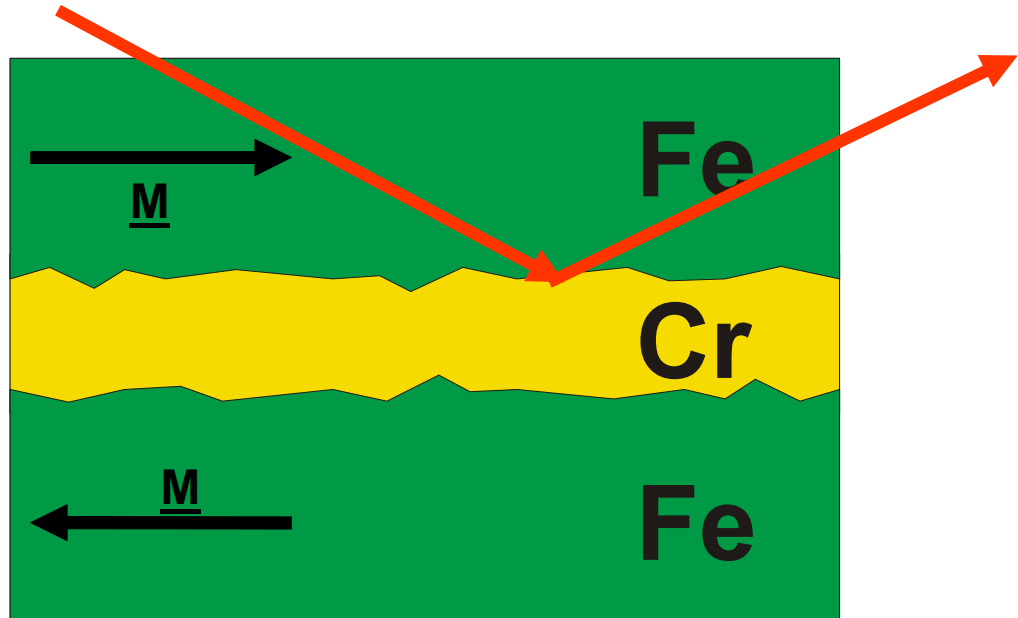
Max Planck

GMR-Effekt

Magnetische Mehrfachschichten

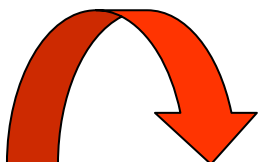


Neutronenreflektometrie



Ziele:

- Herstellung von Materialien/Werkstoffen fuer neuartige Anwendungen
- Ersatz von « konventionellen » Materialien
- Entwicklung neuartiger Herstellungstechnologien
- Material- und Qualitaetspruefung



....Materialforschung und -entwicklung !!!

Motivation:

- optimierte Eigenschaften
- neue Anwendungsfelder
- Energieeinsparung
- Oekologie

- Metalle
- Legierungen
- Keramiken
- Kunststoffe
- Verbundwerkstoffe

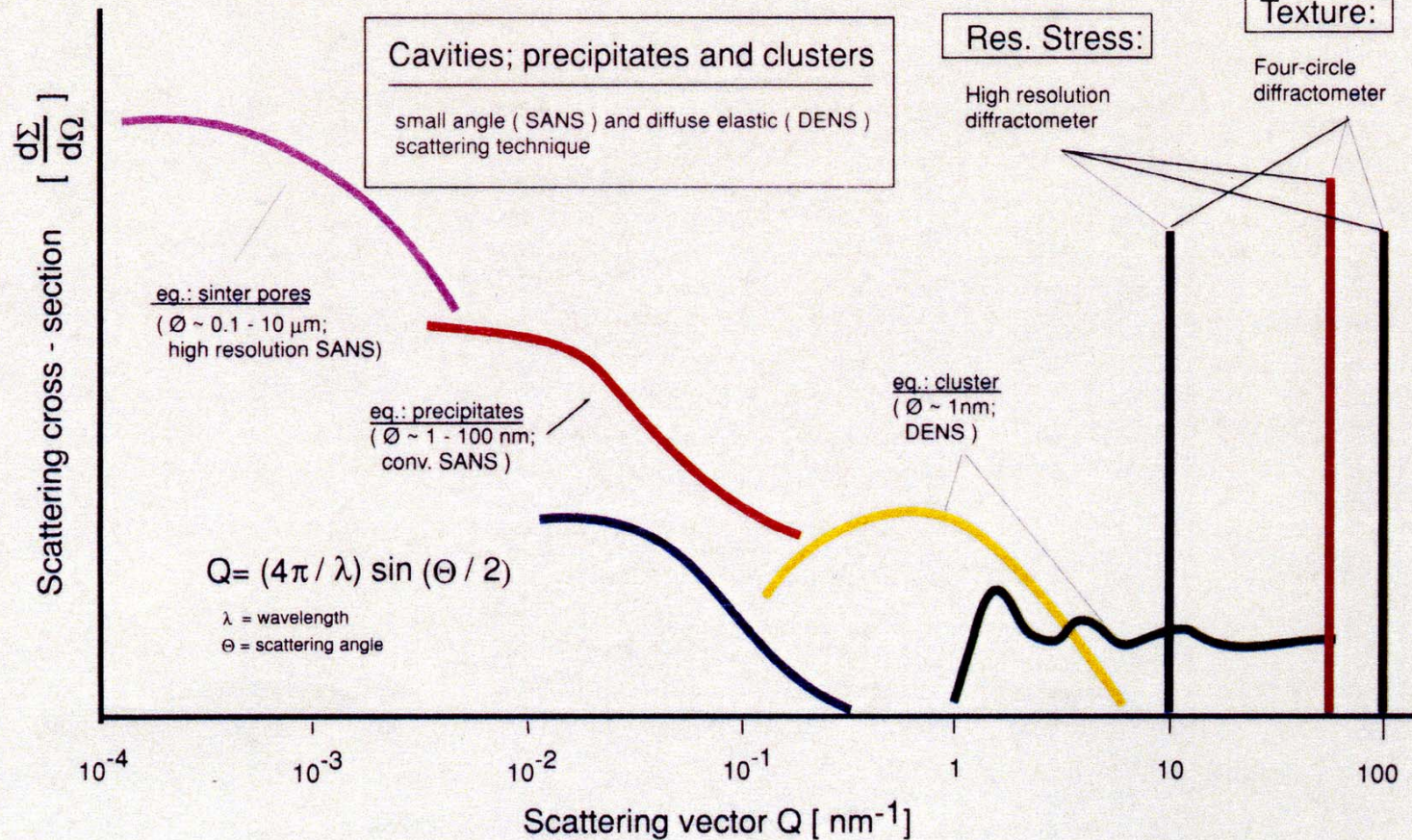


- Magnete
- Schichtsysteme
- Supraleiter
- Halbleiter
- Katalysatoren

Anwendungsbereiche

- Entwicklung neuer Herstellungsverfahren
- Schaedigungsmechanismen unter Belastung (σ ; ε ; T; Φ)
- Entwicklung/Einstellung von Mikrostrukturen
- Zerstoerungsfreie Werkstoff-/Bauteilpruefung

Schematische Darstellung elastischer n-Streukurven



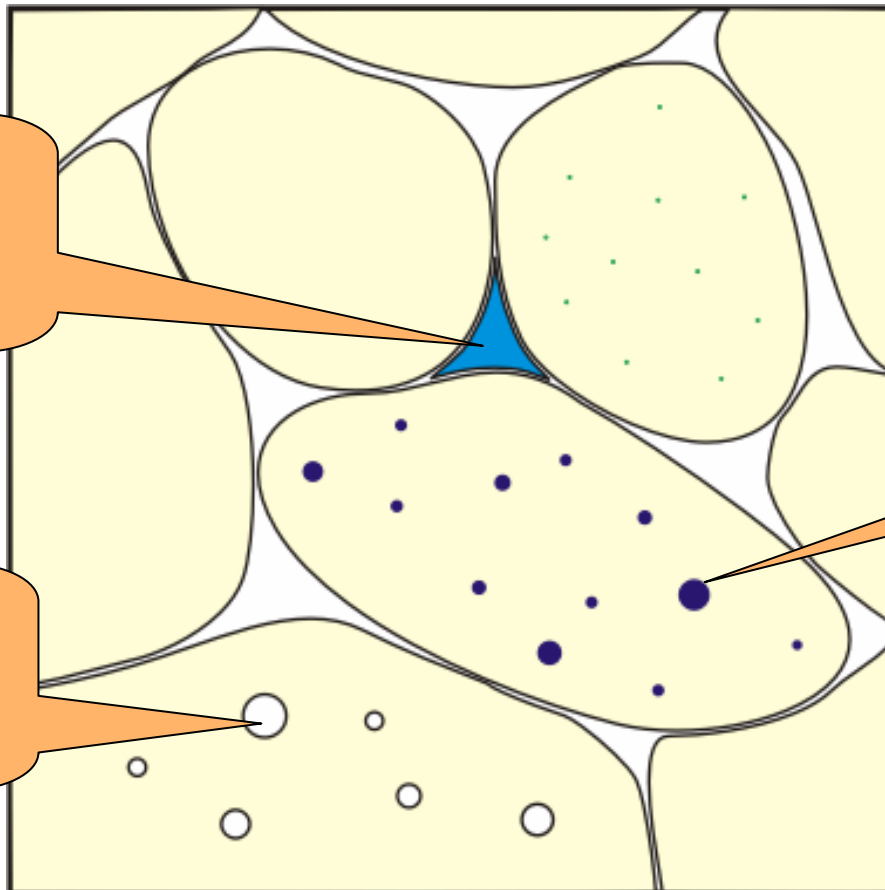
More than simply neutrons...

Entwicklung/Einstellung von Mikrostrukturen

Korngrenzen-
segregationen
 $f(c, T, p)$

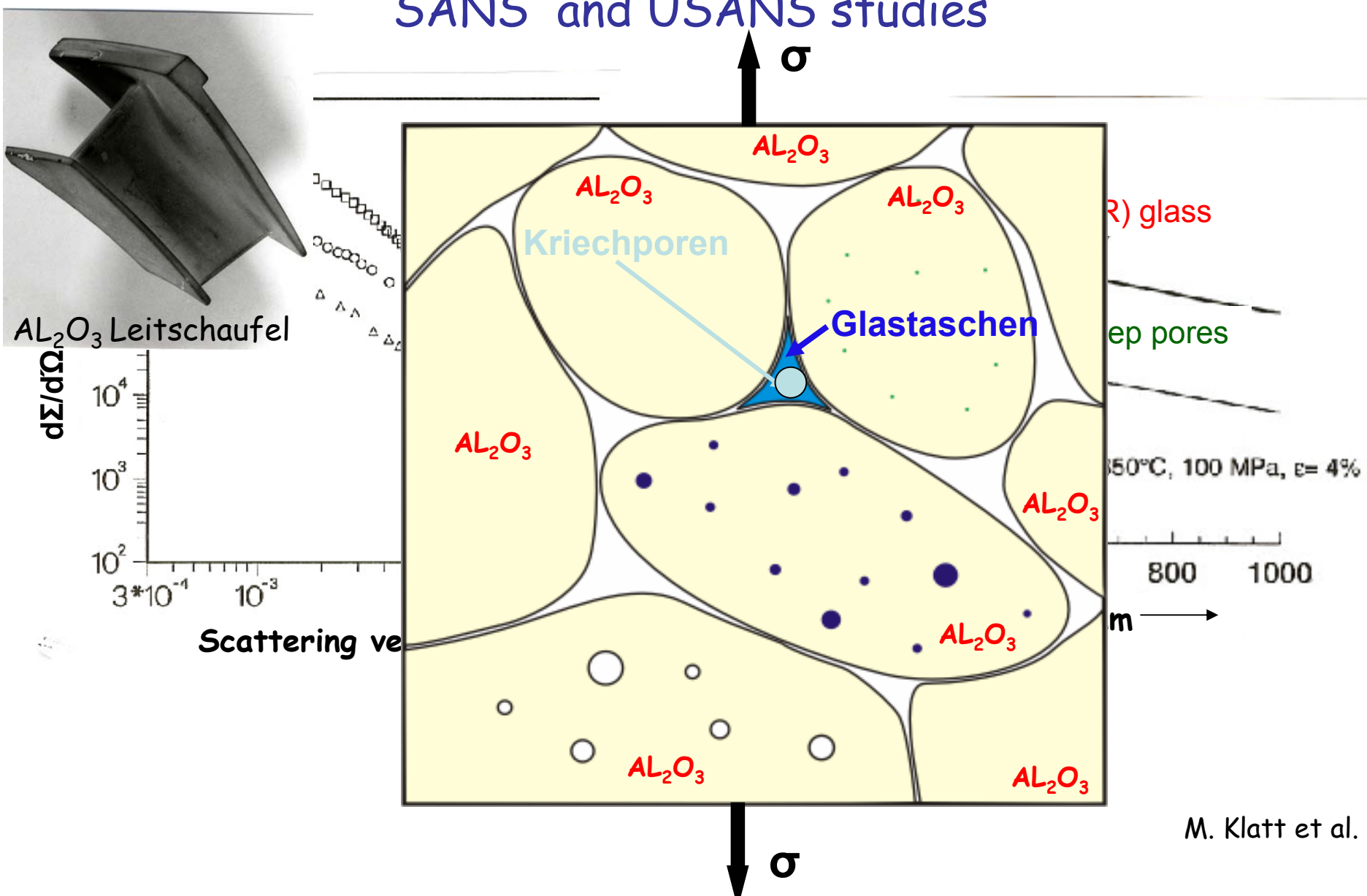
Ausscheidungen
 $f(R, T, t)$

Poren $f(\sigma, \varepsilon; T, t)$
Voids $f(\Phi, T, t)$
He-Blasen



Kriechporen in Fluessig-Phase gesintertem AL_2O_3

SANS and USANS studies

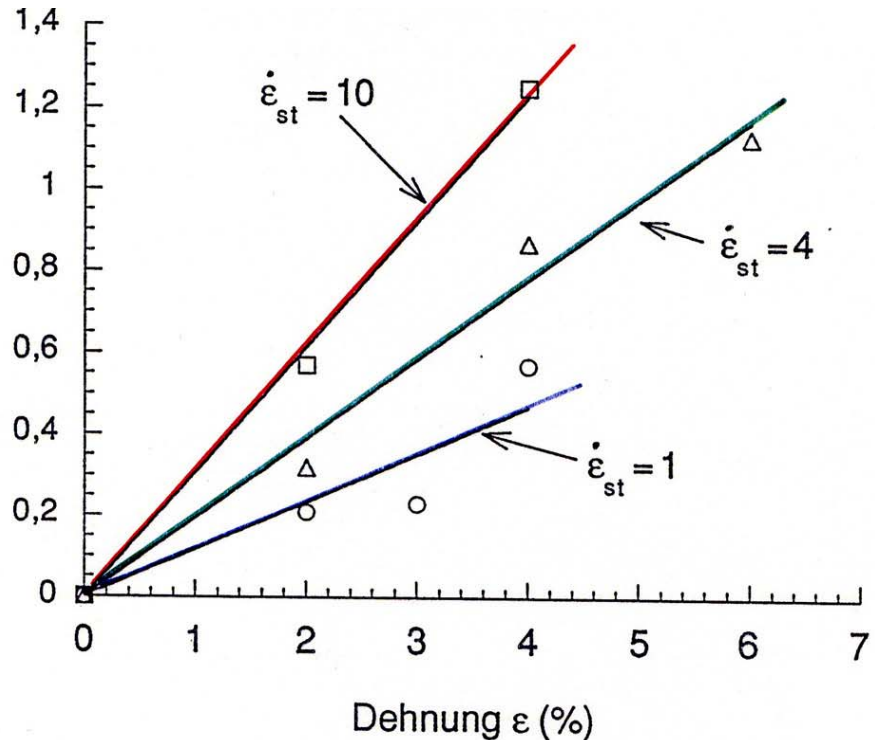


Kriechporen in Fluessig-Phase gesintertem AL_2O_3



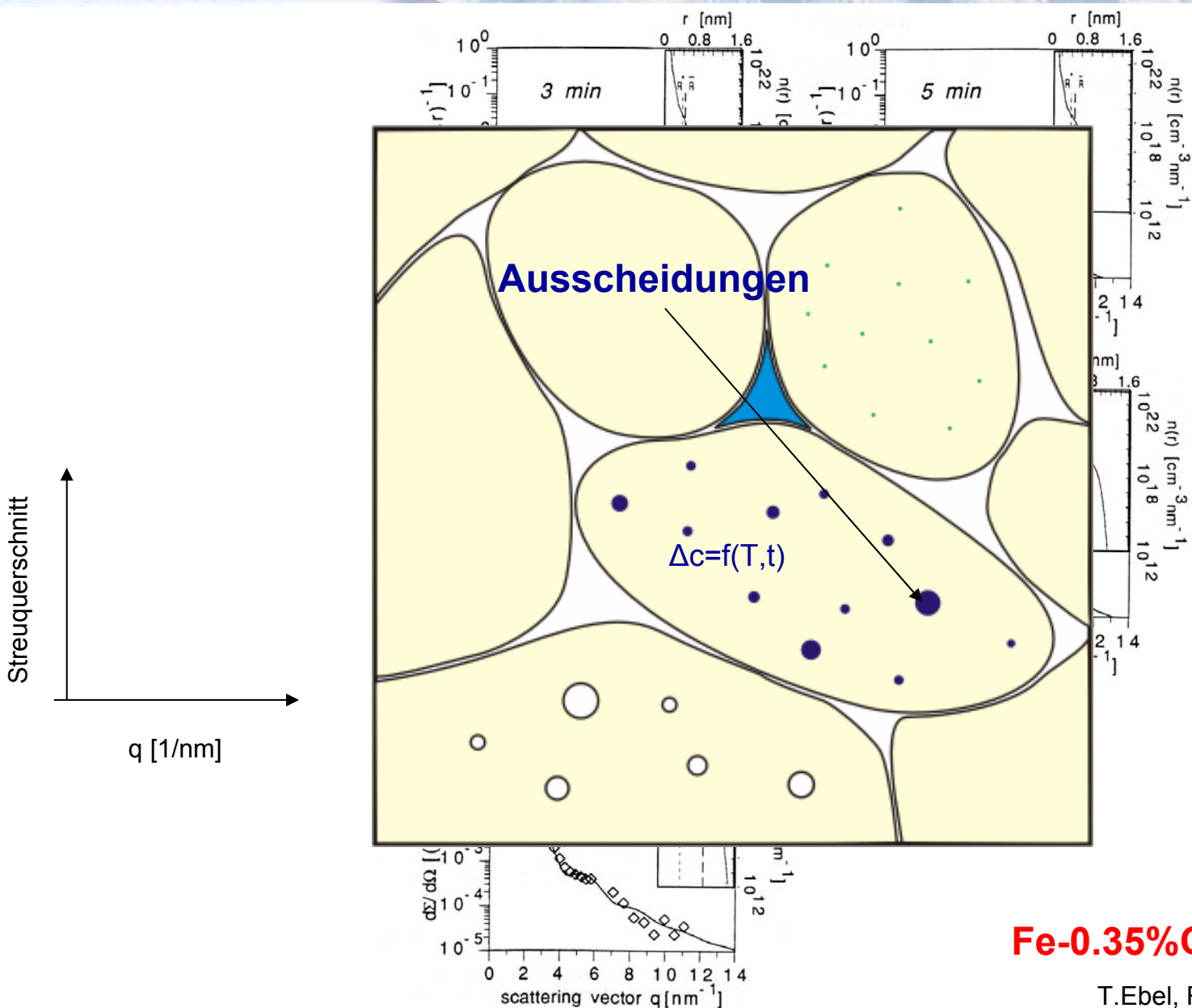
AL_2O_3 Leitschaufel

Entwicklung des Porenvolumens $f(\varepsilon ; d\varepsilon/dt) \%$



$$\Rightarrow V_{\text{Pore}}(R, \varepsilon) \approx \text{konst.} \cdot \varepsilon \cdot \sqrt{\dot{\varepsilon}_{st}} \cdot V_{\text{Glastaschen}}(R)$$

Ausscheidungskinetik in uebersaettigten Legierungen



Cu-0.8at%Co

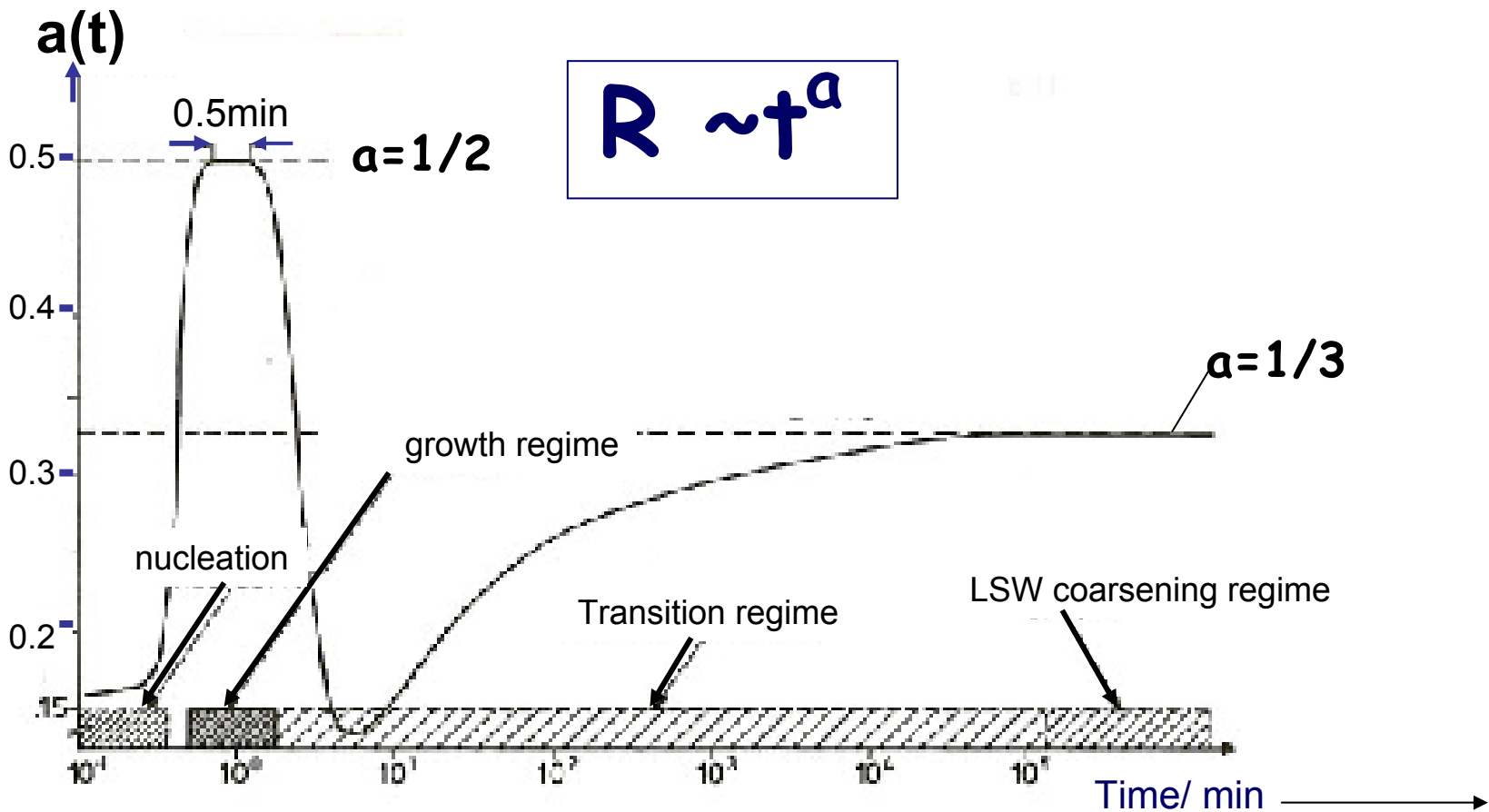
Fe-0.35%Cu; Cu-Ti; Ni-Al

Decomposition kinetics

-Cluster Dynamics Model-

R.Kampmann, R. Wagner

Cu- 1.9at% Ti ; T= 350 °C



Materials for hydrogen storage

Hydrogen is considered as an alternative energy carrier for the future...

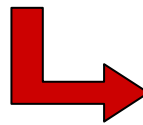
...and **light metal hydrides** offer the potential of safest hydrogen storage in a tank



Current challenges:

- Reduction of operating temperature
- Acceleration of kinetics, e.g. with catalysts

Need to understand the microstructure of the hydrides and structural changes during loading and unloading with H₂



Important contribution by neutron scattering
(Hydrogen contrast)

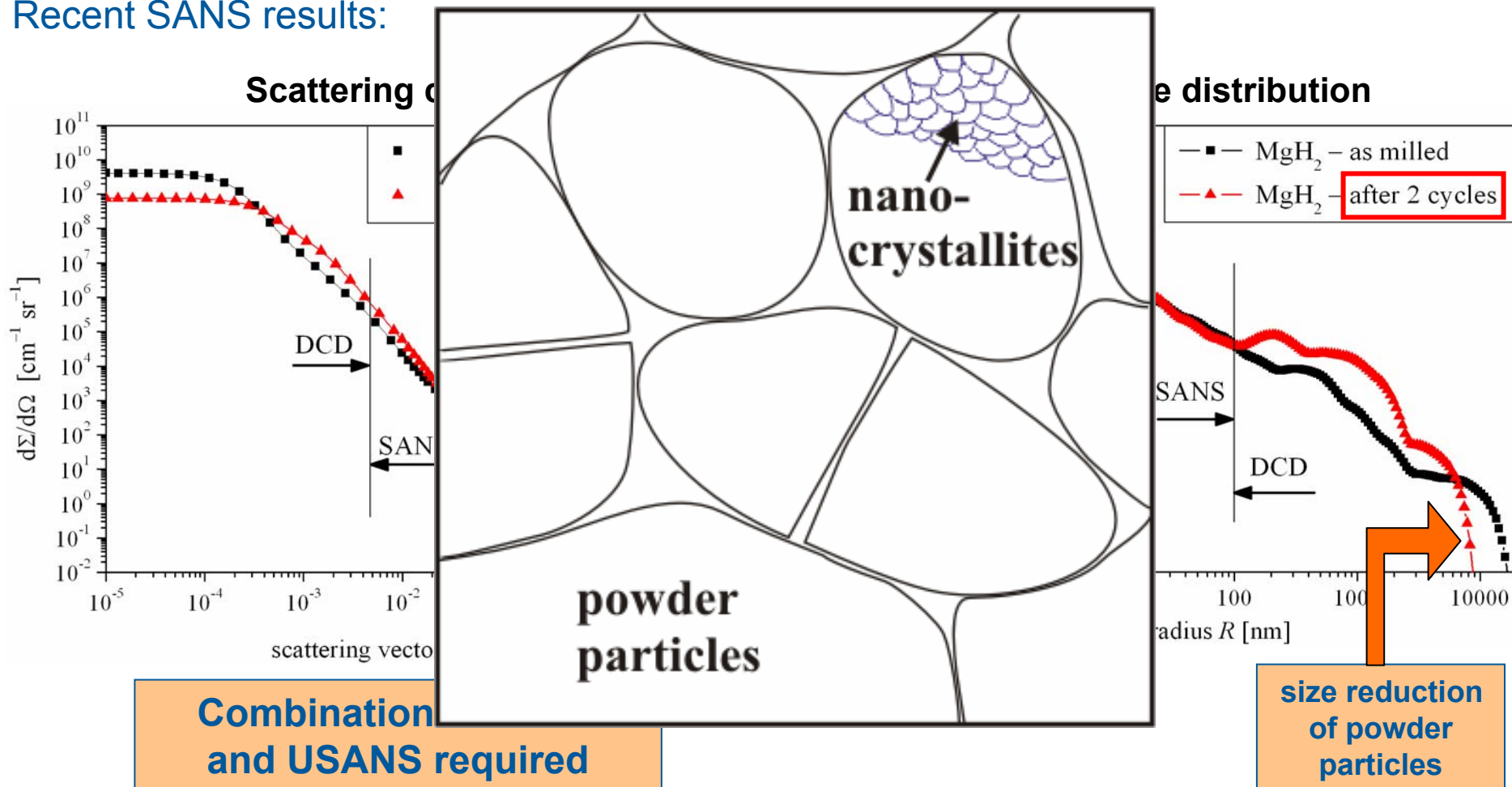
→ In-house research in cooperation with industry

Helmholtz Initiative 'FuncHy: Functional Materials for Mobile Hydrogen Storage'



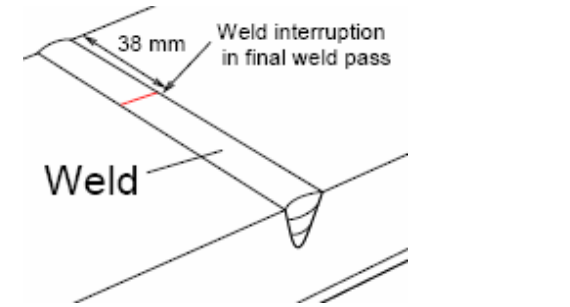
Loading and unloading of Mg powder with H₂ at 300 °C

Recent SANS results:

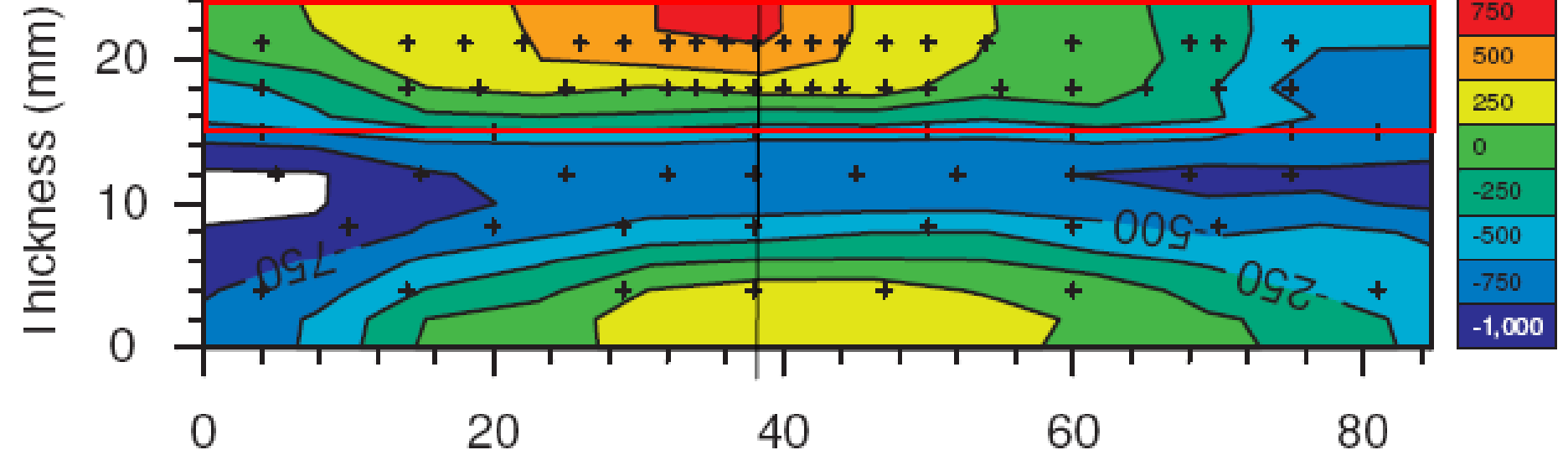


Herstellungstechnologien





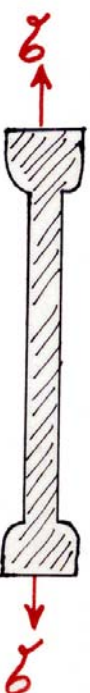
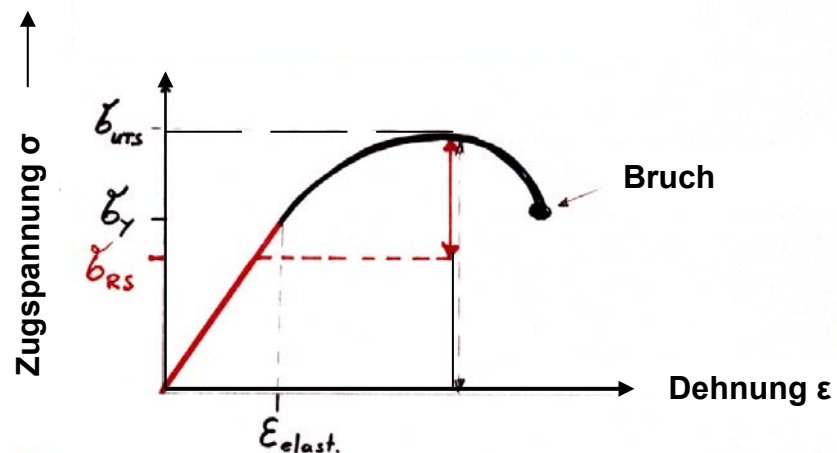
Weld Interruption Position



M. Turski et al. (Open University, UK)



Eigenspannungsanalysen



Generalized (isotropic)
Hooks' law

$$\begin{pmatrix} \gamma_1 & 0 \\ \gamma_2 & 0 \\ 0 & \gamma_3 \end{pmatrix} = \frac{E}{1+r} \begin{pmatrix} \varepsilon_1 & 0 \\ \varepsilon_2 & 0 \\ 0 & \varepsilon_3 \end{pmatrix}$$

$$+ \frac{rE}{(1-2r)(1+r)} (\varepsilon_1 + \varepsilon_2 + \varepsilon_3) \begin{pmatrix} 1 & 0 \\ 0 & 1 \\ 0 & 1 \end{pmatrix}$$

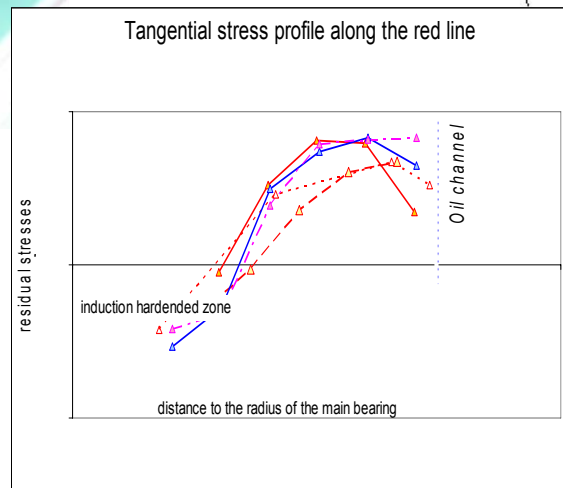
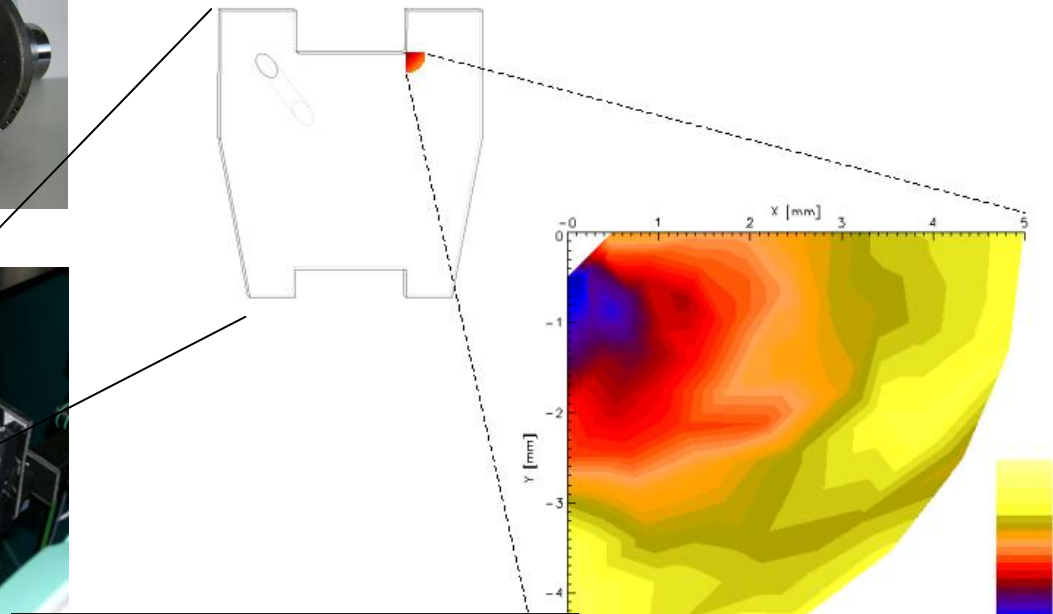
ε_i : Principle strains

Industrielle Forschung mit Neutronen

Eigenspannungsanalysen in gehärteten Kurbelwellen



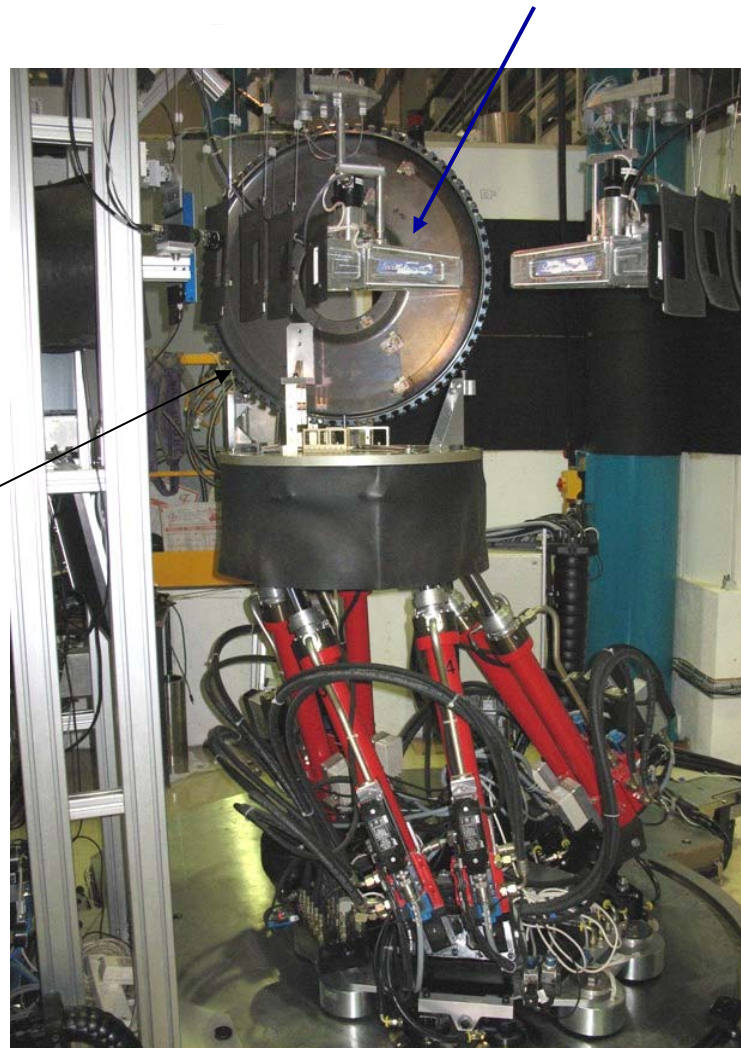
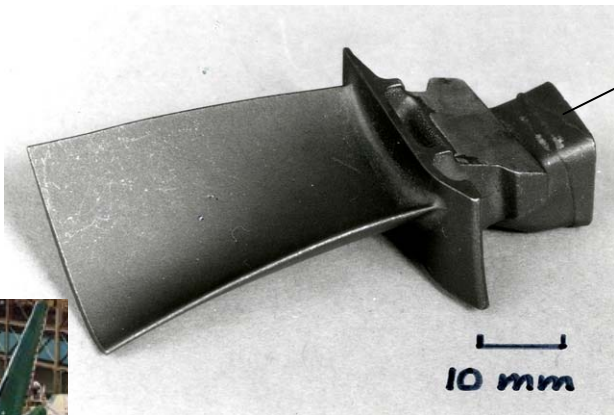
STRESS SPEC @ FRM II



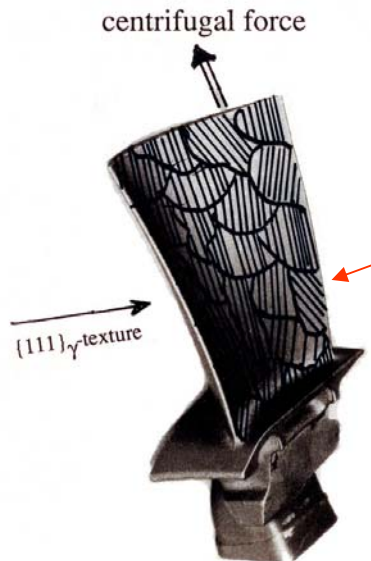
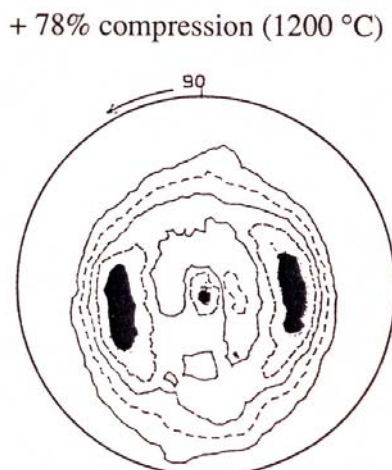
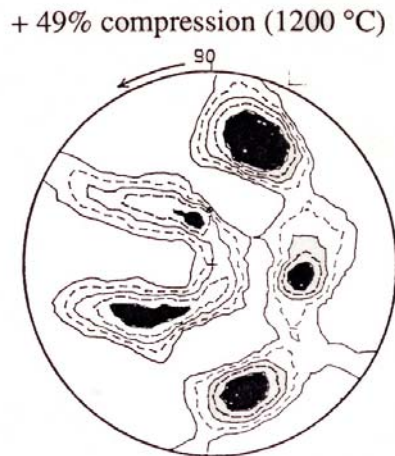
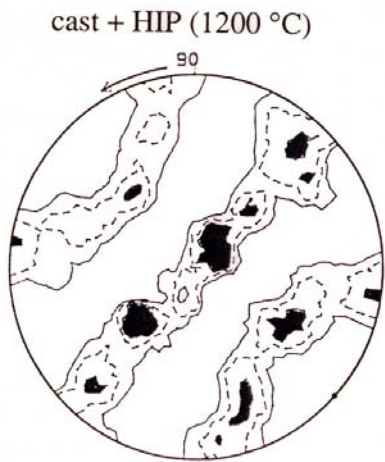
Farb-Code: Verschiedene Druckspannungen

Eigenspannungsanalysen

Titan-Flugturbinenscheibe
(franzoes. Hersteller)
700 mm Dmr.
30 kg



Texturen in intermetallischen γ -TiAl Legierungen

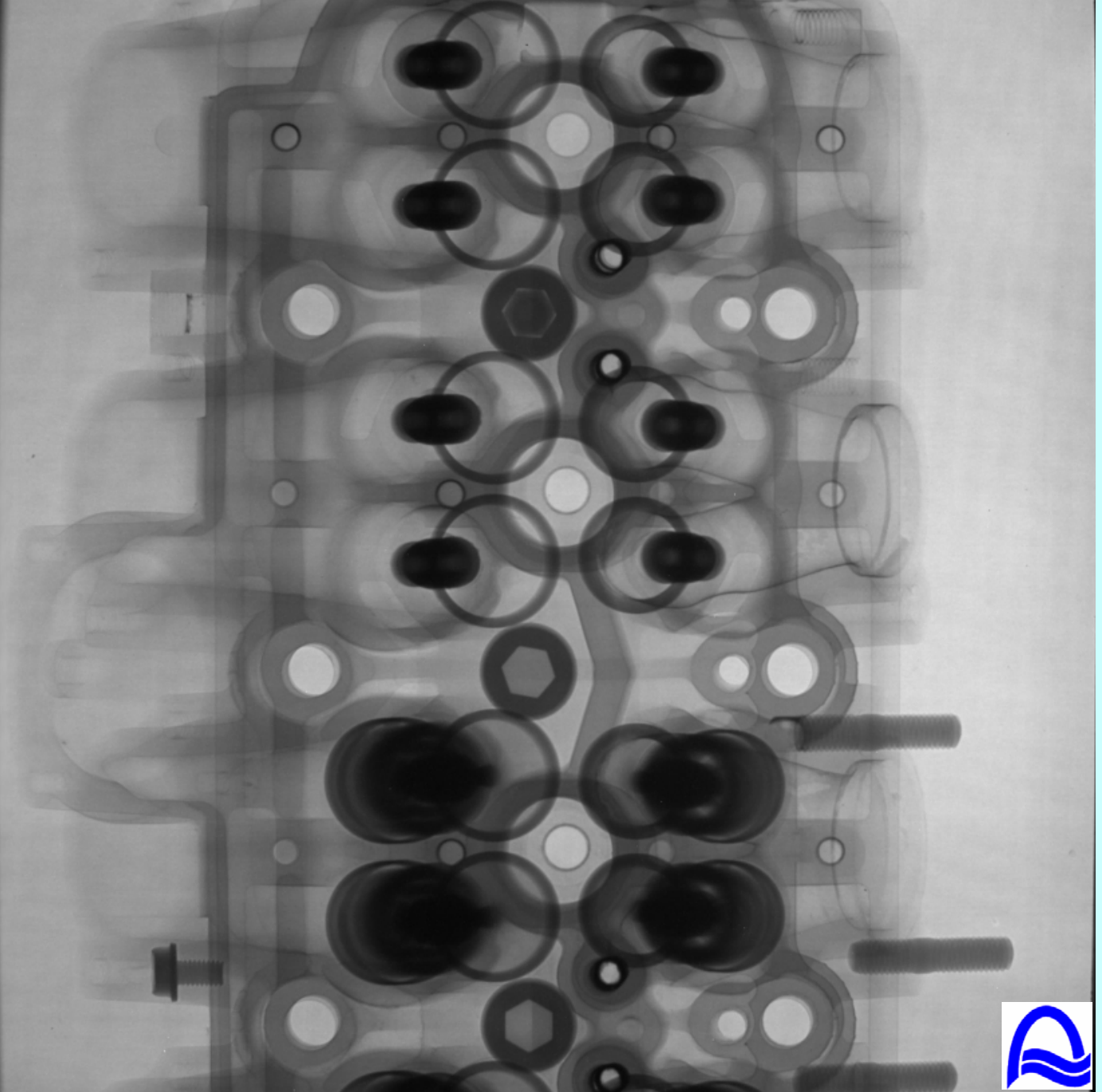


Texturentwicklung nach
uniaxialer Stauchung

Strangpressen,
Formschmieden

Zerstoerungsfreie Pruefung -Neutronentomographie-

Neutronenradiographie eines 4-Kolben Motors



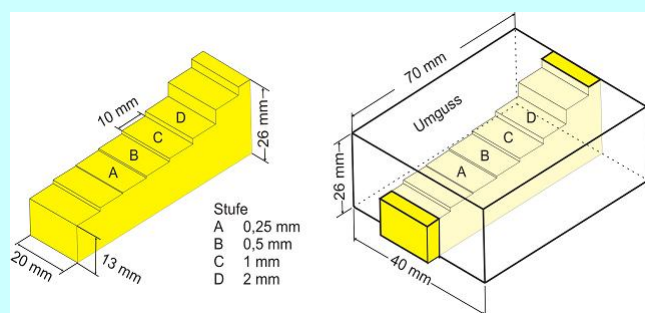
ANTARES @ 

World Conference on Neutron Radiography, 15.-19.10.2006, Gaithersburg, USA

B. Schillinger et al.

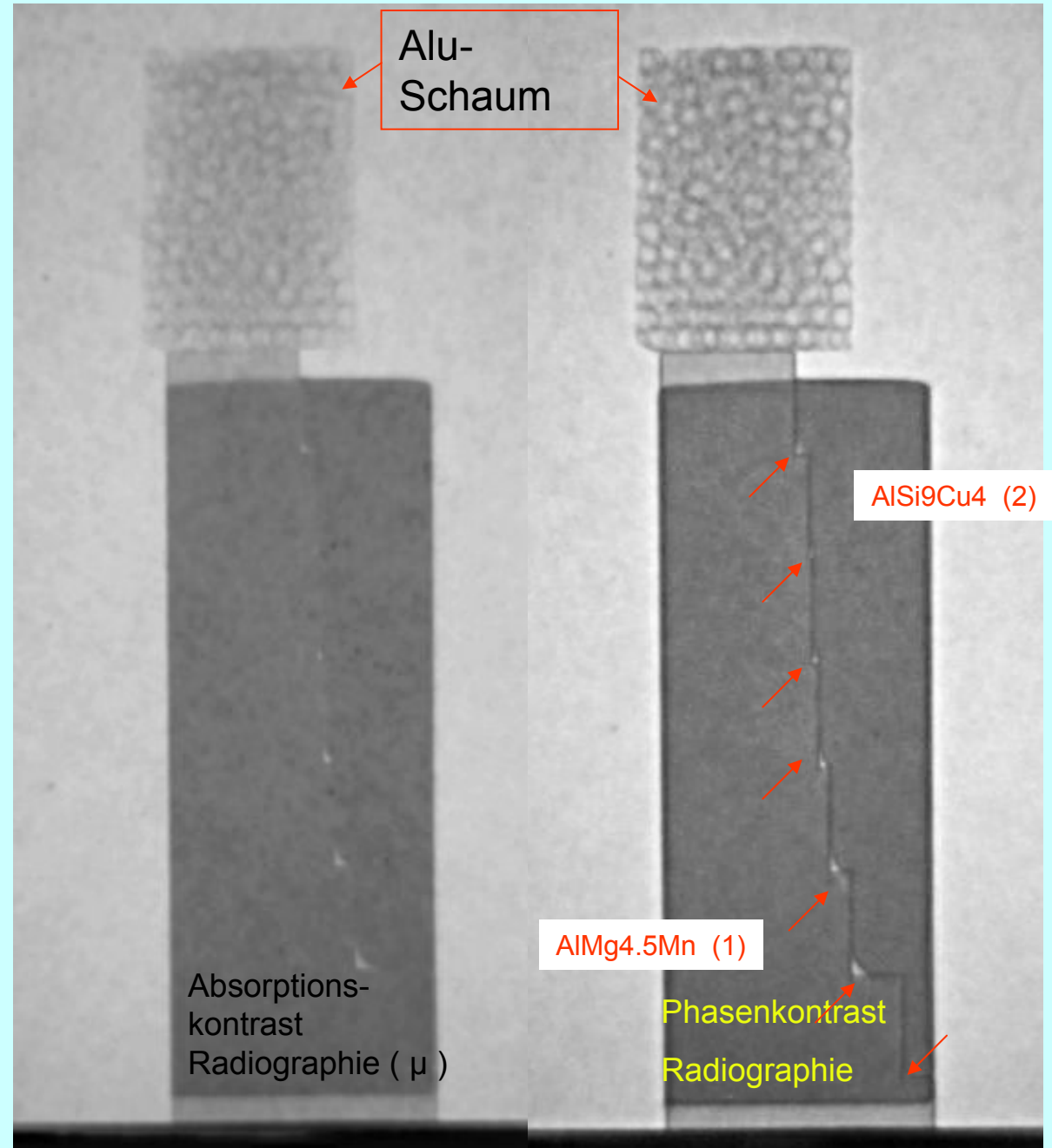


Entwicklung der Phasenkontrasttomographie an ANTARES @



Phasenverschiebg.:

$$\delta_1 = 1 - \text{Re}[n_1] < \delta_2$$

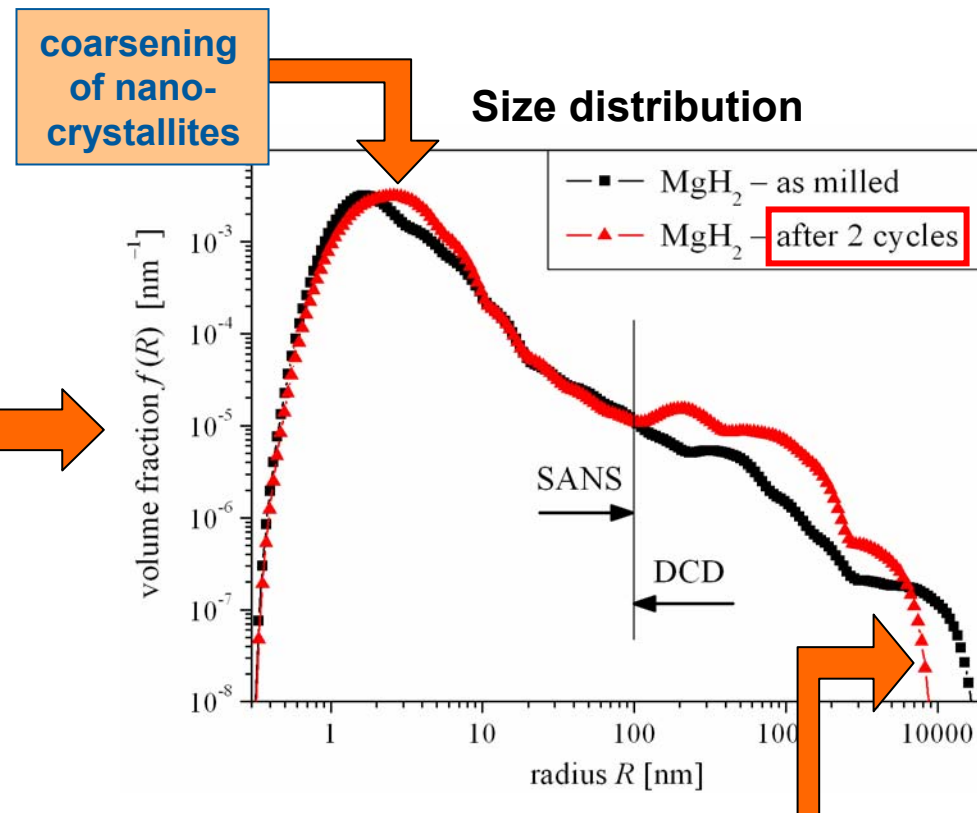
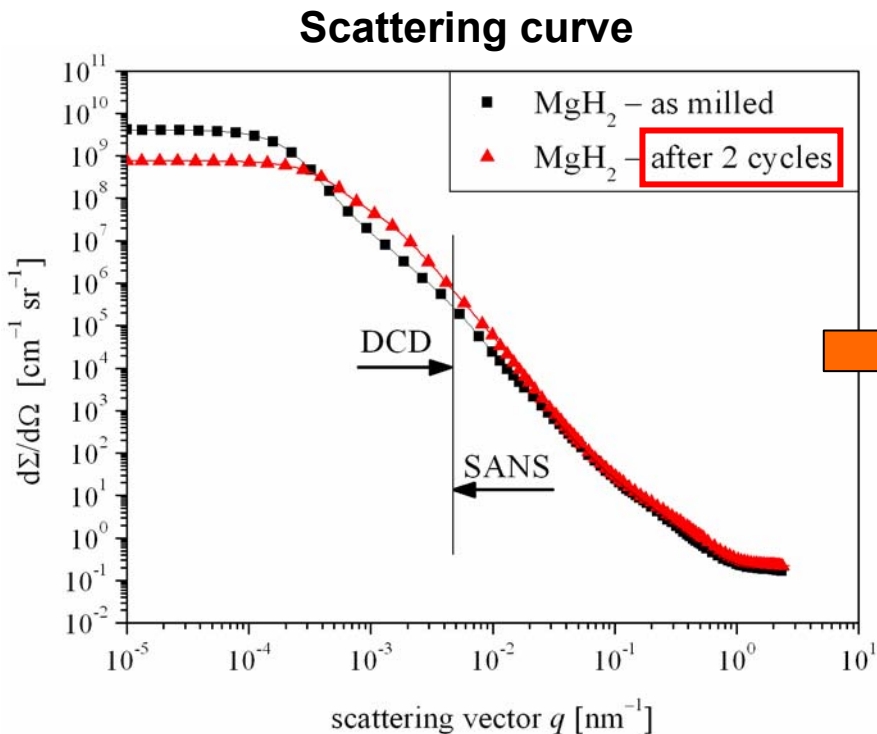




50 Jahre Neutronenforschung in Garching – und deren Zukunft

Loading and unloading of Mg powder with H₂ at 300 °C

Recent SANS results:



**Combination of SANS
and USANS required**

**size reduction
of powder
particles**